

Impianto eolico di Collinas

Progetto definitivo

Oggetto:

COL-56 – Relazione sugli effetti shadow-flickering

Proponente:



Sorgenia Renewables S.r.l.
Via Algardi 4
Milano (MI)

Progettista:



Stantec S.p.A.
Centro Direzionale Milano 2, Palazzo Canova
Segrate (Milano)

Rev. N.	Data	Descrizione modifiche	Redatto da	Rivisto da	Approvato da
00	17/04/2023	Prima Emissione	M. CARNEVALE	M. IAQUINTA	P. POLINELLI
01	08/05/2023	Integrati commenti	M. CARNEVALE	M. IAQUINTA	P. POLINELLI
Fase progetto: Definitivo			Formato elaborato: A4		

Nome File: COL-56.01 – Relazione sugli effetti shadow-flickering.docx

Indice

1	PREMESSA	3
1.1	Descrizione del proponente	4
1.2	Contenuti della relazione.....	4
2	INQUADRAMENTO TERRITORIALE	6
3	IL FENOMENO DELLO SHADOW FLICKERING	8
4	NORME DI RIFERIMENTO	12
5	INDIVIDUAZIONE DEI RICETTORI.....	14
6	MODELLO DI CALCOLO	16
7	RISULTATI	19
8	ALLEGATO	24

Indice delle figure

Figura 2-1: Inquadramento territoriale dell'impianto di Collinas	6
Figura 2-2: Inquadramento su ortofoto dell'area dell'impianto eolico Collinas.....	7

1 PREMESSA

La società Sorgenia Renewables S.r.l, d'ora in avanti il proponente, intende realizzare un impianto di produzione di energia elettrica da fonte eolica nella provincia del Sud Sardegna, in agro del comune di Collinas.

L'impianto sarà costituito da 8 aerogeneratori di potenza unitaria nominale fino a 6 MW, per una potenza installata complessiva fino a 48 MW.

Data la potenza dell'impianto, superiore ai 10.000 kW, il servizio di connessione sarà erogato in alta tensione (AT), ai sensi della Deliberazione dell'Autorità per l'energia elettrica e il gas 23 luglio 2008 n.99 e s.m.i.

Gli aerogeneratori forniscono energia elettrica in bassa tensione (690V) e sono pertanto dotati di un trasformatore MT/BT ciascuno, alloggiato all'interno dell'aerogeneratore stesso e in grado di elevare la tensione a quella della rete del parco. La rete del parco è costituita da un cavidotto interrato in media tensione (30kV), tramite il quale l'energia elettrica viene convogliata dagli aerogeneratori alla sottostazione elettrica (SSE) di trasformazione AT/MT di proprietà del proponente che sarà collegata in antenna ad una nuova stazione elettrica (SE) di smistamento a 380/150/36 kV della RTN, da inserirsi in modalità entra-esce sulla linea a 380 kV "Ittiri-Selargius" (nel seguito "nuova SE").

Le opere progettuali sono quindi sintetizzate nel seguente elenco:

- parco eolico composto da 8 aerogeneratori, da 6 MW ciascuno, con torre di altezza fino a 125 m e diametro del rotore fino a 170 m, e dalle relative opere civili connesse quali strade di accesso, piazzole e fondazioni;
- impianto di rete, consistente in una nuova SE di smistamento a 380/150/36 kV della RTN da inserirsi in modalità entra-esce sulla futura linea a 380 kV "Ittiri-Selargius";
- impianto di utenza per la connessione alla RTN, consistente nella rete di terra, nella rete di comunicazione in fibra ottica, nel cavidotto in media tensione (30kV) interamente interrato e sviluppato principalmente sotto strade esistenti, nella SSE di trasformazione 150/30 kV di proprietà del Proponente e nell'elettrodotto a 150 kV di collegamento tra la SSE e la nuova SE.

I progetti del tipo in esame rispondono a finalità di interesse pubblico (riduzione dei gas ad effetto serra, risparmio di fonti fossili scarse ed importate) ed in quanto tali sono indifferibili ed urgenti, come stabilito dalla legge 1° giugno 2002, n. 120, concernente "Ratifica ed esecuzione del Protocollo di Kyoto alla Convenzione quadro delle Nazioni Unite sui cambiamenti climatici, fatto a Kyoto l'11 dicembre 1997" e dal D.Lgs. 29 dicembre 2003, n.387 "Attuazione della direttiva 2001/77/CE relativa alla promozione dell'energia elettrica prodotta da fonti energetiche rinnovabili nel mercato interno dell'elettricità" e s.m.i..

L'utilizzo di fonti rinnovabili comporta infatti beneficio a livello ambientale, in termini di tonnellate equivalenti di petrolio (TEP) risparmiate e mancate emissioni di gas serra, polveri e inquinanti. Per il progetto in esame si stima una producibilità del parco eolico superiore a 130 GWh/anno (Produzione Media Annuale P50), che consente di risparmiare almeno 24.000 TEP/anno (fonte ARERA: 0,187 TEP/MWh) e di evitare almeno 64.000 ton/anno di emissioni di CO₂ (fonte ISPRA, 2020: 493,80 gCO₂/kWh).

1.1 Descrizione del proponente

Il soggetto proponente del progetto in esame è Sorgenia Renewables S.r.l., interamente parte del gruppo Sorgenia Spa, uno dei maggiori operatori energetici italiani. Il Gruppo è attivo nella produzione di energia elettrica con oltre 4'750 MW di capacità di generazione installata e oltre 400'000 clienti in fornitura in tutta Italia. Efficienza energetica e attenzione all'ambiente sono le linee guida della sua crescita. Il parco di generazione, distribuito su tutto il territorio nazionale, è costituito dai più avanzati impianti a ciclo combinato e da impianti a fonte rinnovabile, per una capacità di circa 370 MW tra biomassa ed eolico. Nell'ambito delle energie rinnovabili, il Gruppo, nel corso della sua storia, ha anche sviluppato, realizzato e gestito impianti di tipo fotovoltaico (ca. 24 MW), ed idroelettrico (ca.33 MW). In quest'ultimo settore, Sorgenia è attiva con oltre 75 MW di potenza installata gestita tramite la società Tirreno Power, detenuta al 50%. Il Gruppo Sorgenia, tramite le sue controllate, fra le quali Sorgenia Renewables S.r.l., è attualmente impegnata nello sviluppo di un importante portafoglio di progetti rinnovabili di tipo eolico, fotovoltaico, biometano, geotermico ed idroelettrico, caratterizzati dall'impiego delle Best Available Technologies nel pieno rispetto dell'ambiente.

1.2 Contenuti della relazione

La presente relazione ha l'obiettivo di illustrare il fenomeno dello "shadow flickering" e di valutare il suo effetto nell'area circostante l'impianto eolico in progetto.

Il Capitolo 2 fornisce una descrizione dell'inquadramento territoriale e geografico dell'impianto in oggetto.

Il Capitolo 3 illustra il fenomeno dello "shadow flickering" prodotto dagli aerogeneratori.

Il Capitolo 4 fornisce un breve quadro normativo di riferimento.

Il Capitolo 5 elenca i ricettori sensibili che sono stati identificati nell'area di indagine.

Il Capitolo 6 descrive la metodologia che è stata utilizzata per valutare l'effetto dello "shadow flickering" e valutare il suo impatto sui ricettori individuati.

Il Capitolo 7 presenta i risultati del calcolo valutandone l'impatto.

Infine, il Capitolo 8 mostra la tavola grafica dei fabbricati considerati nella presente analisi.

2 INQUADRAMENTO TERRITORIALE

Il sito in cui sarà ubicato il parco eolico di nuova costruzione è collocato nel comune di Collinas, nella provincia del Sud Sardegna, in Sardegna.

L'impianto eolico di Collinas è localizzato a circa 45 km dal capoluogo, a circa 1,2 km dal centro urbano del comune di Collinas, ed a circa 8 km in direzione nord-ovest dal centro abitato del comune di Sanluri.

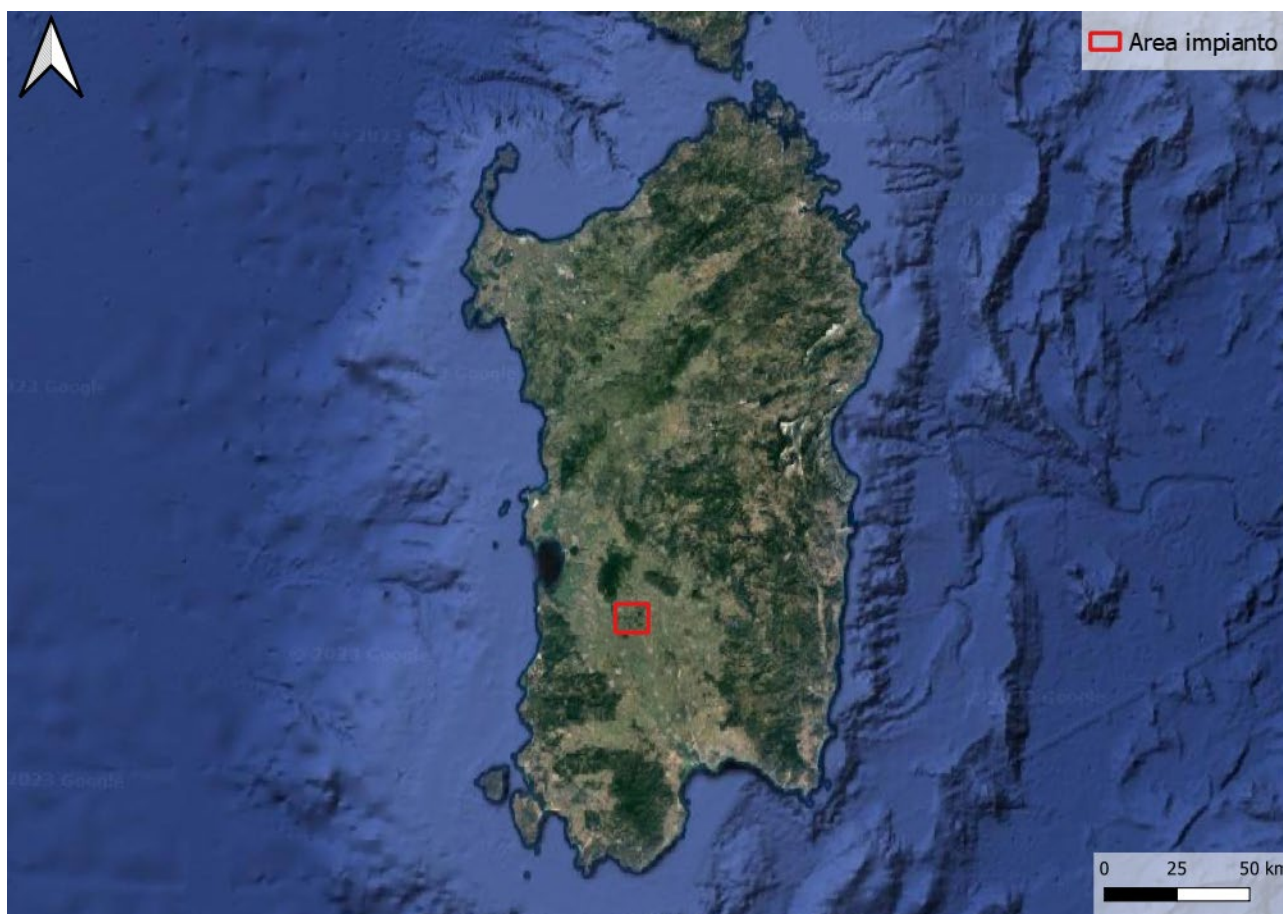


Figura 2-1: Inquadramento territoriale dell'impianto di Collinas

L'impianto eolico di Collinas è situato in una zona prevalentemente collinare non boschiva caratterizzata da un'altitudine media pari a circa 300 m s.l.m., con sporadiche formazioni di arbusti e la presenza di terreni seminativi/incolti.

Il parco eolico ricade all'interno dei seguenti fogli catastali:

- Fogli 1,4, 7, 9, 10, 22 nel comune di Collinas

In Figura 2-2 è riportato l'inquadramento territoriale dell'area nel suo stato di fatto e nel suo stato di progetto, con la posizione degli aerogeneratori su ortofoto.

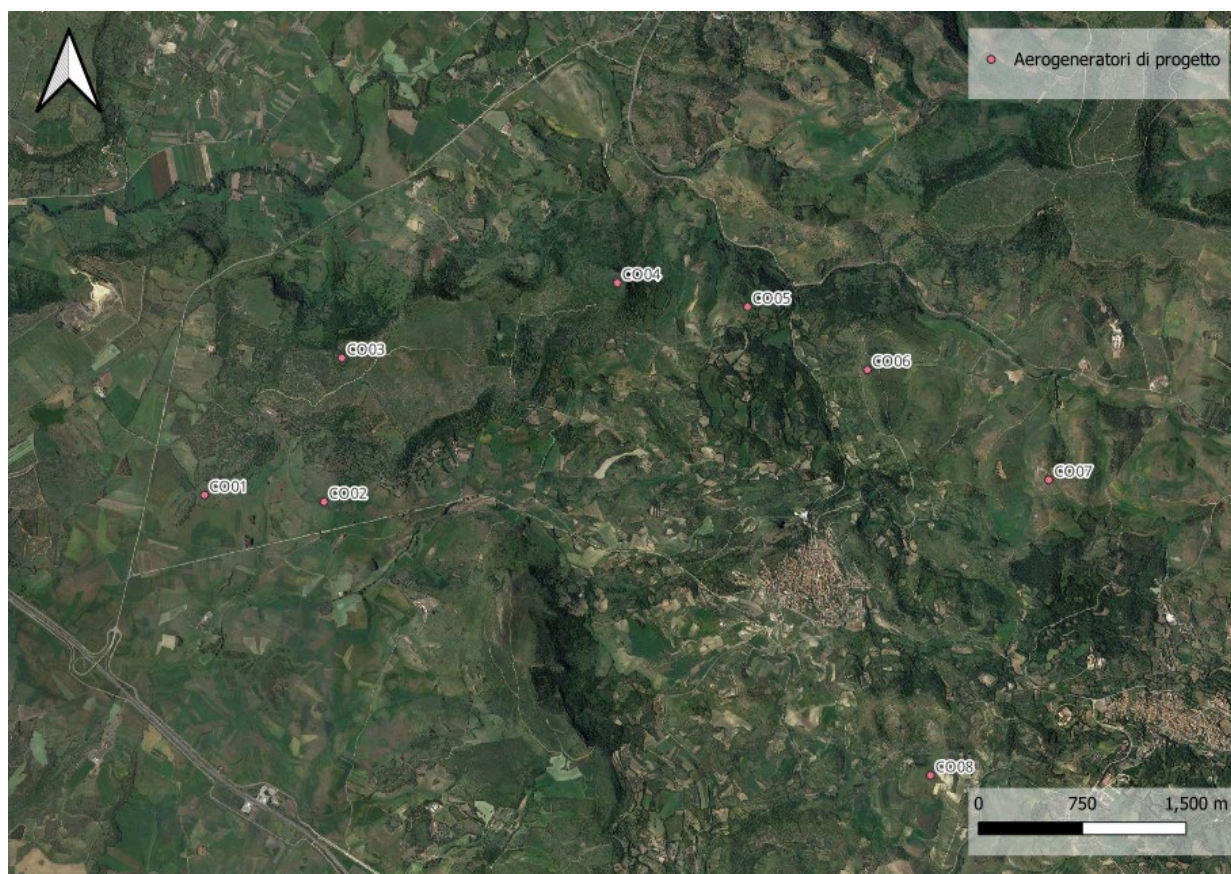


Figura 2-2: Inquadramento su ortofoto dell'area dell'impianto eolico Collinas

Si riporta in formato tabellare un dettaglio sulla localizzazione delle turbine eoliche di nuova costruzione, in coordinate WGS84 UTM fuso 33 N:

Tabella 2-1: Localizzazione geografica degli aerogeneratori di nuova costruzione

ID	Comune	Est [m]	Nord [m]
CO01	Collinas	481841	4388538
CO02	Collinas	482705	4388489
CO03	Collinas	482834	4389529
CO04	Collinas	484824	4390072
CO05	Collinas	485765	4389899
CO06	Collinas	486631	4389443
CO07	Collinas	487941	4388648
CO08	Collinas	487087	4386511

3 IL FENOMENO DELLO SHADOW FLICKERING

Gli aerogeneratori, al pari di tutte le altre strutture fortemente sviluppate in altezza, proiettano un'ombra sulle aree circostanti in presenza di irraggiamento solare diretto.

Lo shadow flickering (letteralmente ombreggiamento intermittente) è l'espressione comunemente impiegata per descrivere una fluttuazione periodica dell'intensità luminosa osservata. Tale effetto (stroboscopico) è causato dalla proiezione, su una generica superficie, dell'ombra indotta da oggetti in movimento. Nel caso specifico di un impianto eolico il fenomeno è generato dalla proiezione, al suolo o su un ricettore (abitazione), dell'ombra prodotta dalle pale degli aerogeneratori in rotazione allorquando il sole si trova alle loro spalle (cfr. figura successiva).

Il fenomeno, dal punto di vista di un potenziale ricettore, si traduce in una variazione alternata e ciclica di intensità luminosa che, a lungo andare, può provocare fastidio agli occupanti delle abitazioni le cui finestre risultano esposte al fenomeno stesso. Il fenomeno, ovviamente, risulta assente sia quando il sole è oscurato da nuvole o dalla nebbia, sia quando, in assenza di vento, le pale dell'aerogeneratore non sono in rotazione.

In particolare, le frequenze che possono provocare un senso di fastidio sono comprese tra i 2,5 ed i 20 Hz (Verkuijlen and Westra, 1984), e l'effetto sugli individui è simile a quello che si sperimenterebbe in seguito alle variazioni di intensità luminosa di una lampada ad incandescenza a causa di continui sbalzi della tensione della rete di alimentazione elettrica.

I più recenti aerogeneratori tripala operano ad una velocità di rotazione di molto inferiore ai 35 giri al minuto, corrispondente ad una frequenza di passaggio delle pale sulla verticale inferiore a 1,75 Hz, minore, quindi, della frequenza critica di 2,5 Hz riportata in letteratura. Inoltre, i generatori di grande potenza (dal MW in su) raramente superano la velocità di rotazione di 15 giri al minuto, corrispondente a frequenze di passaggio delle pale ampiamente minori di quelle ritenute fastidiose per la maggioranza degli individui.

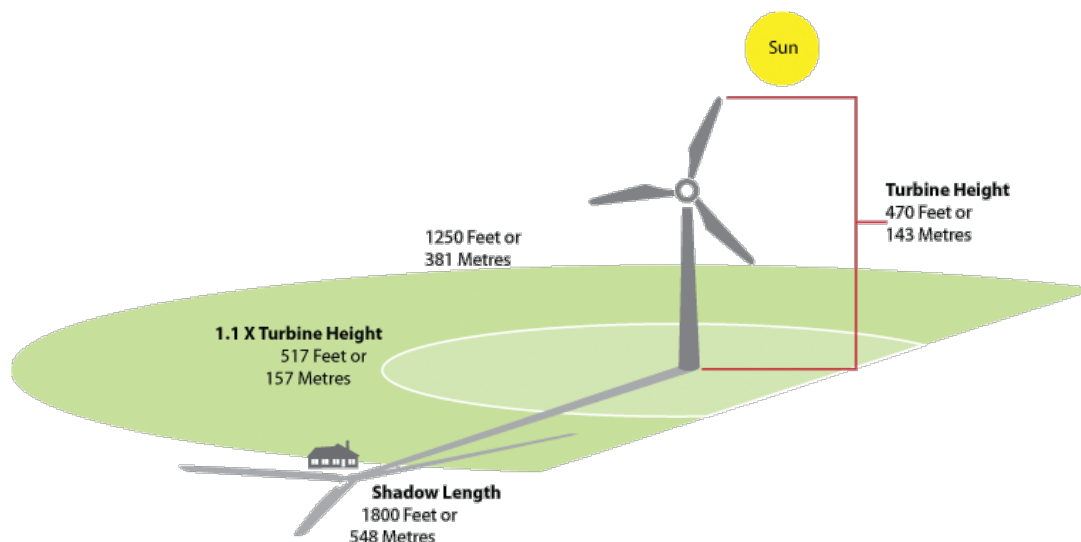


Figura 3-1: rappresentazione schematica

Tale fenomeno, se sperimentato da un ricettore per periodi di tempo prolungati, può generare un disturbo, nelle seguenti condizioni:

- Presenza di un livello sufficiente di intensità luminosa, ovvero in condizioni di cielo sereno sgombro da nubi ed in assenza di nebbia e con sole alto rispetto all'orizzonte;
- Assenza di ostacoli sulla congiungente ricettore - aerogeneratore: la presenza di vegetazione e/o edifici interposti all'ombra generata da questi ultimi annullerebbe il fenomeno. Quindi, condizione favorevole affinché il fenomeno in esame si verifichi, è quella rappresentata dall'orientamento perpendicolare delle finestre di un'abitazione rispetto alla linea congiungente il ricettore all'aerogeneratore in assenza di ostacoli fisici (alberi, altri edifici ecc...);
- Orientamento perpendicolare del rotore rispetto alla congiungente sole - ricettore: infatti, quando il piano del rotore è perpendicolare alla linea sole-ricettore, l'ombra proiettata dalle pale risulta muoversi all'interno di un "disco" che induce un effetto non trascurabile di shadow flickering; viceversa, nel caso in cui il piano del rotore risulti essere in linea con il sole, l'ombra proiettata risulterebbe molto assottigliata e di bassa intensità per cui l'effetto di shadow flickering sarebbe del tutto trascurabile.

Inoltre, affinché lo shadow flickering abbia un'intensità non trascurabile è necessario che:

- la posizione del sole sia tale da produrre una luminosità sufficiente; tale condizione corrisponde, per la latitudine di progetto, in un'altezza del sole sull'orizzonte dell'ordine di almeno 10°;
- le pale del rotore siano ovviamente in rotazione;

- l'aerogeneratore ed il potenziale ricettore non siano troppo distanti: infatti, le ombre proiettate in prossimità dell'aerogeneratore risultano di maggiore intensità rispetto a quelle proiettate ad una distanza crescente. Tale condizione deriva dal fatto che in presenza di un ricettore molto prossimo all'aerogeneratore, una porzione ampia di pala copre il disco solare così come osservato dal punto di vista del ricettore stesso, e, quindi, l'intensità del flicker risulta maggiormente percepibile. All'aumentare della distanza tra aerogeneratore e ricettore le pale, durante il loro moto di rotazione, andranno a coprire una porzione sempre più piccola del disco solare, inducendo un effetto di flicker di minore intensità.

Alla luce di quanto sopra esposto, le relazioni spaziali tra un aerogeneratore ed un ricettore (abitazione), così come la direzione del vento risultano essere fattori chiave per la durata del fenomeno di shadow flickering. Per distanze dell'ordine dei 400-500 m, il fenomeno in esame potrebbe verificarsi all'alba oppure al tramonto, ovvero in quelle ore in cui le ombre risultano molto lunghe e la radiazione diretta è di minore intensità per effetto della piccola elevazione solare. Al di là di una certa distanza l'ombra smette di essere un problema perché il rapporto tra lo spessore della pala ed il diametro apparente del sole diventa molto piccolo. Quindi, come è facile immaginare, la condizione più penalizzante corrisponde al caso in cui il piano del rotore risulti ortogonale alla congiungente ricettore – sole; infatti, in tali condizioni, l'ombra proiettata darà origine ad un cerchio di diametro pari a quello del rotore del generatore eolico.

Sebbene il fenomeno possa essere percepito anche all'esterno, esso risulta evidente e fastidioso in quegli ambienti con finestrate rivolte verso le ombre. In generale, l'area soggetta a shadow flickering non si estende oltre i 500÷1000 m dall'aerogeneratore e le zone a maggiore impatto ricadono entro i 500 m di distanza dalle macchine con durata del fenomeno dell'ordine delle 200 ore all'anno; il flickering, se presente, non supera in genere i 30/40 minuti di durata potenziale nell'arco di una giornata.

L'intensità del fenomeno è definita come la differenza di luminosità che si percepisce in presenza ed in assenza di flickering in una data posizione. In definitiva, si può affermare che:

- Avendo le pale una forma rastremata con lo spessore che cresce verso il mozzo, il fenomeno risulterà tanto più intenso quanto maggiore sarà la porzione di disco solare coperta dalla pala stessa e quanto minore la distanza dal ricettore;
- L'intensità del flickering sarà minima quando l'ombra prodotta è generata all'estremità delle pale;
- Maggiori distanze tra generatore e ricettore determinano ombre meno nette; in tal caso l'effetto flickering risulterà meno intenso e distinto.

La presente relazione ha lo scopo di stimare le aree potenzialmente interessate dal fenomeno in relazione agli aerogeneratori che costituiscono il parco eolico in oggetto.

Nello specifico, quando si valuta l'impatto da shadow flickering, lo stesso può essere realizzato attraverso l'analisi di due casi specifici:

- Il worst case, in cui viene valutata la massima durata del fenomeno, ovvero quella astronomica, che corrisponde alle condizioni di cielo sempre sgombro da nubi, di rotore in movimento continuo e di perpendicolarità tra quest'ultimo ed il potenziale ricettore;
- Il real case, in cui viene valutata la durata realistica del fenomeno, tenendo conto del soleggiamento effettivo dell'area e delle specifiche condizioni anemologiche che determinano la reale operabilità degli aerogeneratori.

4 NORME DI RIFERIMENTO

Attualmente nel nostro paese non sono state emanate specifiche norme o linee guida che regolamentino i limiti di esposizione al fenomeno dello Shadow flickering generato dall'esercizio degli impianti eolici, né è stata definita una distanza massima oltre la quale si ritiene improbabile il verificarsi di un impatto significativo sulla salute umana.

Viceversa, a livello internazionale esistono diverse linee guida e normative che stabiliscono specifici limiti di esposizione, in termini di ore/anno e ore/giorno, al fenomeno in esame.

La presente valutazione è finalizzata a valutare il cosiddetto "worst case", tenendo conto delle principali linee guida e/o normative internazionali che fissano i limiti di esposizione entro i quali gli effetti del fenomeno sulla salute umana possono considerarsi trascurabili o nulli, quali:

- Länderausschuss für Immissionsschutz "Hinweise zur Ermittlung und Beurteilung der optischen Immissionen von Windenergieanlagen (Guideline for identification and evaluation of the optical emissions of wind turbines) (WEA-Schattenwurf-Hinweise)" (Germania, 2002);
- Department of Energy and Climate Change "National Policy Statement for Renewable Energy Infrastructure (EN-3)" (Regno Unito, 2011).

A titolo puramente informativo si riportano di seguito i riferimenti di altre norme in materia:

- Environment Protection and Heritage Council (EPHC) "National Wind Farm Development Guidelines - Draft" (Australia-Governo Nazionale, 2010);
- State of Queensland, Department of Infrastructure, Local Government and Planning "Wind farm State Code Planning Guideline" (Australia-Stato del Queensland, 2017);
- Western Australian Planning Commission "Guidelines for Wind Farm Development" (Western Australia, 2004);
- Victoria State Government, Department of Environment, Land, Water and Planning "Policy and planning Guidelines for Development of Wind Energy Facilities in Victoria" (Australia, 2017);
- Vlaamse overheid – Departement Leefmilieu, Natuur en Energie, VLAREM II (Belgio-Regione delle Fiandre 2017);
- Arrêté du Gouvernement wallon portant conditions sectorielles relatives aux parcs d'éoliennes d'une puissance totale supérieure ou égale à 0,5 MW (Belgio-Regione Vallone, 2014);
- Scottish Government "Onshore wind turbines" (Scozia, 2012);

- Danish Government, Naturstyrelsen, Miljøministeriet "Vejledning om planlægning for og tilladelse til opstilling af vindmøller" (Danimarca, 2015).

La maggior parte dei paesi che hanno adottato specifiche linee guida o regolamenti in materia si sono basati sulle norme di riferimento tedesche e sui limiti di accettabilità da esse introdotti. In assenza di una specifica normativa o linea guida, nazioni quali Austria, Brasile, Canada, India, Giappone e Polonia, impiegano, come buona pratica, le indicazioni contenute nelle linee guida tedesche.

Nello specifico, tali linee guida sono state introdotte nel 2002 dal comitato statale per il controllo dell'inquinamento e, da allora, sono state adottate dalla maggior parte dei Lander e sono comunemente considerate buone pratiche nella valutazione dell'impatto prodotto da un parco eolico. In particolare, tali linee guida, stabiliscono che lo shadow flickering deve essere valutato:

- Fino ad una distanza tale che il rotore copra il 20% del disco solare; a distanze superiori il fenomeno è considerato troppo diffuso da poter produrre fastidio;
- Per angoli del sole sull'orizzonte superiori a 3 gradi; per angoli inferiori il fenomeno si ritiene schermato dalla presenza di edifici e/o vegetazione;
- Ad un'altezza di 2 metri dal suolo;

Gli obiettivi di qualità stabiliti dalle suddette linee guida sono un massimo di:

- 30 minuti al giorno;
- 30 ore all'anno.

5 INDIVIDUAZIONE DEI RICETTORI

Allo scopo di valutare l'impatto indotto sugli edifici da parte dell'impianto eolico in progetto, sono stati individuati i ricettori potenzialmente sensibili presenti in un'areale corrispondente all'involuppo delle aree buffer circolari di raggio pari a 10 volte il diametro del rotore (nel caso in esame 1700 m) del modello di aerogeneratore previsto in progetto (D pari a 170 m), con centro coincidente con le postazioni delle WTG in oggetto; ciò in accordo con quanto stabilito dalla "National Policy Statement for Renewable Energy Infrastructure (EN-3)" (UK, 2011) (PPS22 per l'Inghilterra, TAN8 per il Galles), secondo la quale è improbabile che si verifichi un impatto significativo da shadow flickering a distanze superiori a dieci volte il diametro del rotore. Si è preferito optare per seguire le indicazioni delle Linee Guida anglosassoni in quanto da esperienze pregresse è sempre risultato che i 10 diametri sono più che cautelativi nella valutazione dello shadow flickering, come peraltro avviene di default all'interno di tutti i software che valutano tale impatto.

Sebbene il fenomeno possa essere percepito anche all'esterno degli edifici, esso risulta evidente e potenzialmente fastidioso in quegli ambienti con finestrate localizzate lungo la direttrice sole-aerogeneratore e, per tale ragione, si è considerato nella simulazione la presenza di finestre di altezza pari a 1,5 metri e larghezza pari ad 1 metro, posizionate ad una quota dal suolo di 2 metri e disposte su tutte le facciate degli edifici considerati, in direzione dei quattro punti cardinali (N-E-S-W).

Di seguito sono riportati i riferimenti geografici dei potenziali ricettori individuati nel buffer sopra specificato.

Tabella 5-1: Ricettori considerati

Ricettore	Coordinate UTM-WGS 84 fuso 33		Categoria catastale	Comune
	Est	Nord		
RC 01	481892	4389518	A3	Gonnostramatza
RC 02	483639	4388920	A3	Collinas
RC 03	488715	4388525	A4	Lunamatrona
RC 04	487665	4387165	A3	Villanovaforru
RC 05	487543	4387182	A3	Villanovaforru
RC 06	484082	4391080	A4	Gonnostramatza
RC 07	484071	4391059	A4	Gonnostramatza
RC 08	483370	4390793	A4	Gonnostramatza
RC 09	485521	4388843	A2	Collinas
RC 10	486748	4387875	A2	Collinas
RC 11	488467	4386704	B1	Villanovaforru
RC 12	488487	4386708	B1	Villanovaforru
RC 13	488591	4386763	A2	Villanovaforru
RC 14	488366	4386480	A3	Villanovaforru
RC 15	488279	4386985	A3	Villanovaforru
RC 16	488361	4386908	A2	Villanovaforru
RC 17	488355	4387022	B5	Villanovaforru
RC 18	488563	4387006	A2	Villanovaforru

6 MODELLO DI CALCOLO

L'analisi dell'impatto da shadow flickering prodotto da un parco eolico è realizzata, generalmente, attraverso l'impiego di specifici applicativi che modellano il fenomeno in esame. I pacchetti software impiegati comunemente per la progettazione di impianti eolici contengono moduli specifici per il calcolo e l'analisi del fenomeno di flickering.

L'analisi si basa necessariamente sull'impiego di un modello digitale del terreno dell'area oggetto di progettazione, sulle posizioni (E, N, quota) degli aerogeneratori e dei potenziali ricettori sensibili, nonché sui dati che correlano la posizione del sole nell'arco dell'anno con le condizioni operative delle turbine nello stesso arco di tempo.

Al fine di calcolare la posizione relativa del sole nell'arco di un anno rispetto al parco eolico ed ai ricettori è necessario definire la longitudine, la latitudine ed il fuso orario dell'area interessata dal progetto (coordinate baricentriche del dominio di calcolo).

Nello specifico, nel presente studio, è stato impiegato il modulo shadow flickering del software WindFarm 5.0.1.2 (ReSoft Limited©). Esso consente di analizzare la posizione del sole nell'arco di un anno allo scopo di identificare i tempi in cui ogni aerogeneratore può proiettare ombre sulle finestre delle abitazioni vicine. In particolare, il modello permette di:

- Calcolare il potenziale per le ombre intermittenti alle finestre delle abitazioni;
- Mostrare un calendario grafico degli eventi di flickering;
- Mostrare un elenco dettagliato di ciascun evento di ombreggiamento (ora di inizio, di fine, durata del fenomeno, aerogeneratore/i coinvolti ecc...);
- Creare mappe di impatto potenziale che mostrano le ore d'ombra intermittente per l'intero parco eolico o per le singole macchine (curve di isodurata) nell'arco dell'anno.

Al di là di una certa distanza, come già osservato, l'ombra smette di essere un problema perché il rapporto tra lo spessore della pala e il diametro apparente del disco solare diventa piccolo. Poiché non vi è un valore generalmente accettato per questa distanza massima, WindFarm permette di specificare il limite in metri o multipli del diametro o dell'altezza complessiva del generatore eolico.

Come accennato sopra, nel caso in esame, per quanto concerne le simulazioni effettuate, si è assunta una distanza massima di influenza del fenomeno in esame pari a 10 volte il diametro dell'aerogeneratore di progetto (1700 m) ed un angolo minimo di altezza del sole sull'orizzonte pari a 3°. Tali assunzioni di input al modello risultano molto conservative in relazione a quanto espresso sopra in termini teorici in riferimento al fenomeno di shadow flickering.

In particolare, il modello numerico utilizzato, al pari degli altri presenti sul mercato, produce in output una mappa di impatto nel caso più penalizzante, il cosiddetto "WORST CASE", corrispondente alle

ore in cui il sole permane al di sopra dell'orizzonte nell'arco dell'anno (ore di luce, ca. 4380 h/a), indipendentemente dalla presenza o meno di nubi, le quali inficerebbero il fenomeno stesso dello shadow flickering per l'impossibilità che si generino ombre.

Nello specifico, il worst case è caratterizzato dalle seguenti ipotesi:

- Assenza di qualsiasi ostacolo naturale o artificiale (alberature, muri di cinta, edifici, ecc...), ad eccezione dell'orografia dell'area, frapposto tra i ricettori e gli aerogeneratori, tale da limitare o eliminare completamente il fenomeno dello shadow flickering;
- Aerogeneratori sempre operativi;
- Presenza di sole durante tutto il periodo diurno dell'anno (assenza di nubi);
- Perpendicolarità tra il piano del rotore e la congiungente sole-ricettore (worst case wind direction), ovvero l'aerogeneratore insegue il sole;

Quindi, allo scopo di pervenire a valori più realistici di impatto, prossimi al caso reale (REAL CASE), si dovrebbe considerare il valore di eliofania locale, ovvero il numero di ore di cielo libero da nubi durante il giorno, e quello delle ore stimate di funzionamento dell'impianto eolico nell'arco dell'anno. Per l'area in esame il valore medio di eliofania corrisponde a circa 2600 h/a^{1, 2}, quindi, i risultati del calcolo possono, ragionevolmente, essere abbattuti del 40,64 %, pari al complemento a 1 del rapporto $2600/4380 = 59,36 \%$, dove 4380 h sono le ore di luce annue teoriche.

In altri termini, rispetto al WORST CASE, la probabilità di occorrenza del fenomeno di shadow flickering si riduce realisticamente, per l'area in esame, al 59,36 % del valore calcolato dal modello impiegato e che corrisponde proprio alla probabilità che il disco solare risulti libero da nubi.

Inoltre, dal momento che il fenomeno in esame è prodotto dalla contemporanea presenza di sole libero da nubi (potenzialità di generare ombre) e di velocità del vento superiori a quella di cut-in (rotore in moto), i valori calcolati dal modello (considerando la condizione più penalizzante di rotore permanentemente in moto) possono essere ulteriormente abbattuti di una percentuale corrispondente alle ore annue di effettivo funzionamento macchina rispetto al totale delle ore in un anno (8760 h).

Per il parco eolico in esame le ore macchina sono stimate pari al 86,60 % delle ore anno, ovvero circa 7586 ore; in altri termini, la probabilità che il rotore di un aerogeneratore risulti in movimento è appunto dell'ordine di 86,60 % (pari circa al rapporto 7586/8760).

¹ Pinna M. (1985). L'eliofania in Italia. Mem. Soc. Geogr. It., 39: pag. 23-58.

² Lavagnini A., Martorelli S., Coretti C. (1987). Radiazione solare in Italia. Mappe mensili della radiazione globale giornaliera. Roma, CNR, Ist. Fis. Atm., pag. 48.

In definitiva, i valori calcolati dal modello numerico (ore di ombreggiamento intermittente all'anno presso i diversi ricettori individuati) possono, realisticamente, essere ridotti di un fattore pari al complemento a 1 del prodotto $86,60\% \times 59,36\% = 51,41\%$, corrispondente alla probabilità composta di avere contemporaneamente l'occorrenza di rotore in rotazione (vento) e sole libero da nubi (ombre), fenomeni, questi ultimi, stocasticamente indipendenti per cui la probabilità composta risulta pari al prodotto delle singole probabilità, ovvero **48,59 %**.

7 RISULTATI

Al fine di verificare la presenza e l'intensità del fenomeno dello shadow flickering indotto dal parco eolico in progetto sono state effettuate una serie di simulazioni con software dedicato che hanno tenuto conto:

- Della latitudine locale, allo scopo di considerare il corretto diagramma solare;
- Della geometria effettiva delle macchine previste, ed in particolare dell'altezza complessiva di macchina, intesa come somma tra l'altezza del mozzo ed il raggio del rotore;
- Dell'orientamento del rotore rispetto al ricettore;
- Della posizione del sole e quindi della proiezione dell'ombra rispetto ai ricettori;
- Dell'orografia locale, tramite un modello digitale del terreno (DTM) dell'area di installazione del parco;
- Della posizione dei possibili ricettori (abitazioni), nonché degli aerogeneratori (layout di progetto).

Come sopra accennato, le simulazioni effettuate sono state condotte in condizioni conservative, assumendo il cielo completamente sgombro da nubi, foschia, ecc. e nessun ostacolo interposto tra i ricettori individuati e gli aerogeneratori previsti in progetto.

Il programma effettua il calcolo delle ore del giorno in cui si potrebbe avere l'effetto del flickering sul ricettore considerato, facendo la somma dei minuti in cui il fenomeno risulta presente. Effettua poi la somma teorica dei minuti di ciascun mese (worst case) che poi può essere ridotta in considerazione delle giornate soleggiate, dell'operatività effettiva dell'impianto eolico, della direzione del vento ecc... Inoltre, avendo calcolato geometricamente l'evoluzione delle ombre durante la giornata, è possibile identificare l'area in cui avviene il fenomeno dello shadow flickering per ciascun aerogeneratore.

La frequenza dello shadow flickering è correlata alla velocità di rotazione del rotore; le frequenze tipiche per le macchine considerate nel presente progetto sono dell'ordine di 0,4-0,45 Hz (corrispondenti a 8 - 9 rpm, circa un passaggio ogni 2-2,5 secondi). In termini di impatto sulla popolazione, tali frequenze sono innocue; basti pensare che le lampade stroboscopiche, largamente impiegate nelle discoteche, producono frequenze comprese tra 5 e 10 Hz.

La tabella seguente riassume i risultati dell'analisi eseguita secondo la metodologia di calcolo descritta nelle sezioni precedenti:

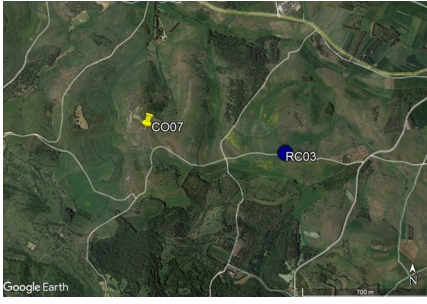

Tabella 7-1: Risultati del calcolo, in rosso i ricettori con più di 30 ore/anno nel caso real case

Ricettore	Worst case (caso peggiore)		Caso "realistico"	Caso "realistico"	Categoria catastale
	[giorni/anno]	[ore/anno]	[ore/anno]	[min/giorno]	
RC 01	59	33.4	17.2	17.5	A3
RC 02	53	25.4	13.1	14.8	A3
RC 03	89	59.8	30.7	20.7	A4
RC 04	0	0	0.0	0.0	A3
RC 05	0	0	0.0	0.0	A3
RC 06	34	11.1	5.7	10.1	A4
RC 07	44	16.5	8.5	11.6	A4
RC 08	38	13.1	6.7	10.6	A4
RC 09	37	12.4	6.4	10.3	A2
RC 10	0	0	0.0	0.0	A2
RC 11	24	9.2	4.7	11.8	B1
RC 12	20	6.9	3.5	10.6	B1
RC 13	0	0	0.0	0.0	A2
RC 14	9	1.9	1.0	6.5	A3
RC 15	25	8.4	4.3	10.4	A3
RC 16	20	6.7	3.4	10.3	A2
RC 17	26	8.5	4.4	10.1	B5
RC 18	20	6.1	3.1	9.4	A2

Nello specifico, la tabella precedente riporta il numero di giorni e di ore in cui è fisicamente possibile che il fenomeno si presenti (caso peggiore) e il valore realistico atteso di ore l'anno in cui il fenomeno potrebbe presentarsi. A tal proposito è importante sottolineare che anche il caso realistico, calcolato tenendo conto dell'eliofania locale e delle ore di funzionamento dell'impianto, è comunque un valore cautelativo in quanto nella stima non si è tenuto conto degli effetti mitigativi dovuti al fatto che il piano di rotazione delle pale non sempre risulta ortogonale alla direttrice sole-ricettore e all'eventuale presenza di ostacoli e/o vegetazione interposti tra il sole ed il singolo ricettore.

Dall'analisi della tabella si evince che, considerando il real case, dei ricettori all'interno del buffer di 1700 m dagli aerogeneratori, solo un fabbricato adibito ad abitazione risulta essere leggermente soggetto al fenomeno per un numero di ore superiore a 30 nel corso dell'anno e nessuno di essi supera un numero di minuti giorno pari a 30. Il dettaglio dei fabbricati considerati nella presente analisi è riportato nella tavola grafica allegata alla presente relazione.

Tabella 7-2: Inquadramento su ortofoto e su carta dello shadow flickering dei ricettori soggetti al fenomeno

Ricettore	Inquadramento ricettore su ortofoto	WTG coinvolte nel fenomeno	Inquadramento su carta dello Shadow Flickering (worst case) <table border="1" data-bbox="1165 358 1444 515"> <thead> <tr> <th colspan="2">Shadow Flickering</th> </tr> </thead> <tbody> <tr> <td style="background-color: blue;">0-15 ore</td> <td></td> </tr> <tr> <td style="background-color: cyan;">15-30 ore</td> <td></td> </tr> <tr> <td style="background-color: green;">30-45 ore</td> <td></td> </tr> <tr> <td style="background-color: yellow;">45-60 ore</td> <td></td> </tr> <tr> <td style="background-color: orange;">>60 ore</td> <td></td> </tr> </tbody> </table> Legenda:	Shadow Flickering		0-15 ore		15-30 ore		30-45 ore		45-60 ore		>60 ore	
Shadow Flickering															
0-15 ore															
15-30 ore															
30-45 ore															
45-60 ore															
>60 ore															
RC 03		CO07 a 780 m													

L'effetto si può considerare trascurabile in quanto il superamento delle 30 ore sul ricettore considerato è minimo.

Inoltre, se si considera il grafico della frequenza relativa alla direzione di provenienza del vento (figura successiva) del parco eolico in oggetto si evince che i risultati sopra riportati possono essere ridotti, per i ricettori più esposti, ovvero posizionati lungo la direttrice prevalente del vento, di almeno un ulteriore 76,00%, dal momento che la direzione prevalente del vento risulta essere quella ovest-nord-ovest (24% circa). Alla luce di ciò, l'effetto si riduce ulteriormente diventando assolutamente trascurabile.

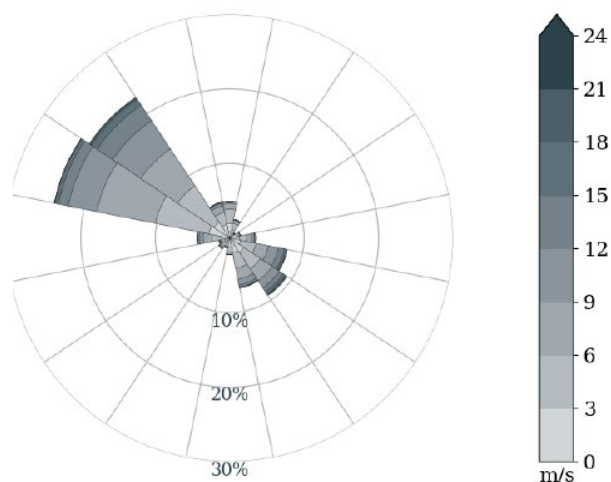


Figura 7-1: Rosa del vento

A seguito di quanto descritto nelle sezioni precedenti si può concludere che, pur considerando una stima cautelativa in quanto non si è tenuto conto dell'eventuale presenza di ostacoli e/o vegetazione interposti tra il sole e i ricettori considerati, il fenomeno dello shadow flickering si verifica per oltre 30 ore l'anno in corrispondenza di nessun ricettore presente nell'area.

Per quanto riguarda il ricettore più influenzato RC03, si può notare da Figura 7-2 e Figura 7-3 che esso è circondato da alberi che fungono da ostacolo alla diffusione dello shadow flickering, limitandone così l'influenza.



Figura 7-2: Inquadramento del ricettore RC03



Figura 7-3: Immagine del ricettore RC03

Inoltre, si rammenta che si tratta di fenomeni:

- Limitati nello spazio, in quanto relativi solo ad un edificio;
- Episodici durante l'anno e localizzati all'alba o al tramonto;
- Di breve durata nel corso della giornata, in quanto l'edificio è interessato solo per un breve periodo;
- Limitati come intensità, dal momento che la luce del sole, in condizioni di alba o tramonto, risulta di intensità modesta e, quindi, è modesta anche la variazione dovuta allo shadow flickering.

Va altresì sottolineato che:

- La velocità di rotazione dell'aerogeneratore di progetto è dell'ordine di 8/9 rotazioni al minuto, quindi nettamente inferiore a 60 rpm, frequenza massima raccomandata al fine di ridurre al minimo i fastidi e soddisfare le condizioni di benessere.

Le distanze reciproche tra generatori eolici e ricettori, le condizioni orografiche del sito considerato, determinano la pressoché totale assenza del fenomeno in esame. In aggiunta, il fenomeno si manifesta su un numero limitatissimo di ricettori esclusivamente quando il sole presenta un'altezza inferiore ai 20° sull'orizzonte, pertanto può ritenersi trascurabile, per l'elevata intensità della radiazione diffusa rispetto a quella diretta.

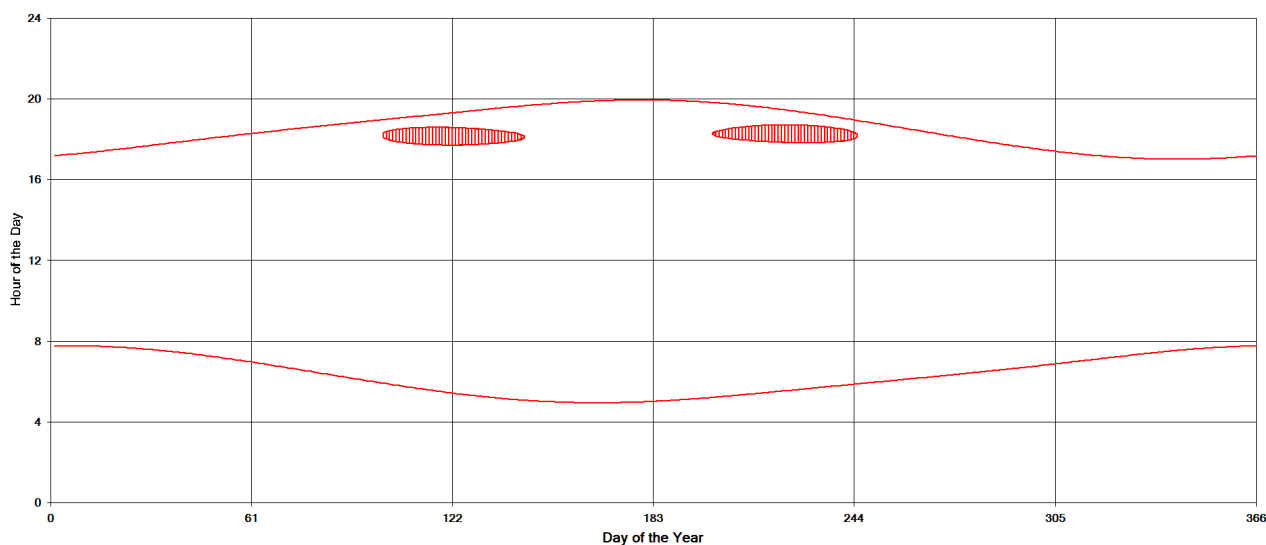
8 ALLEGATO

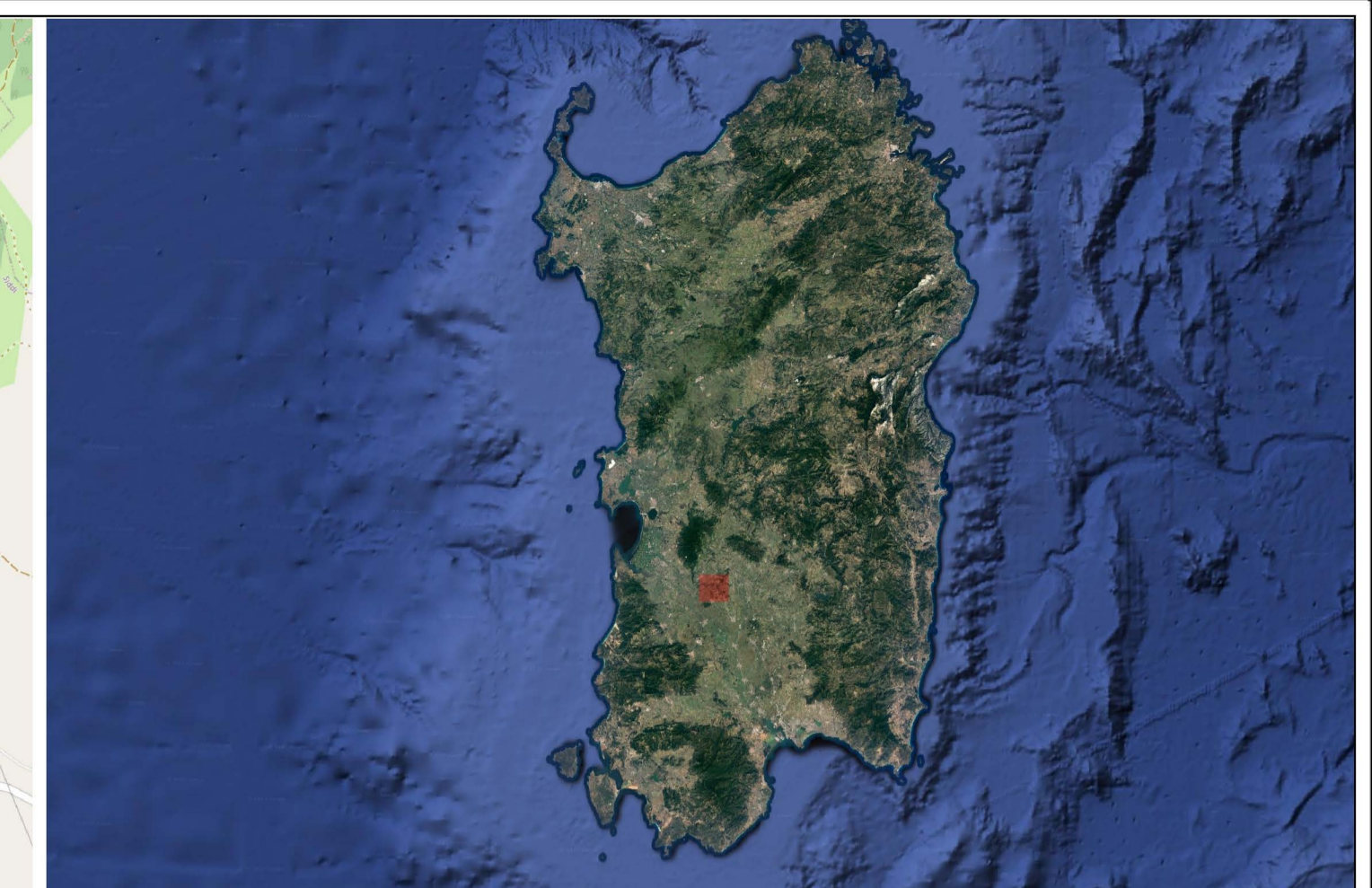
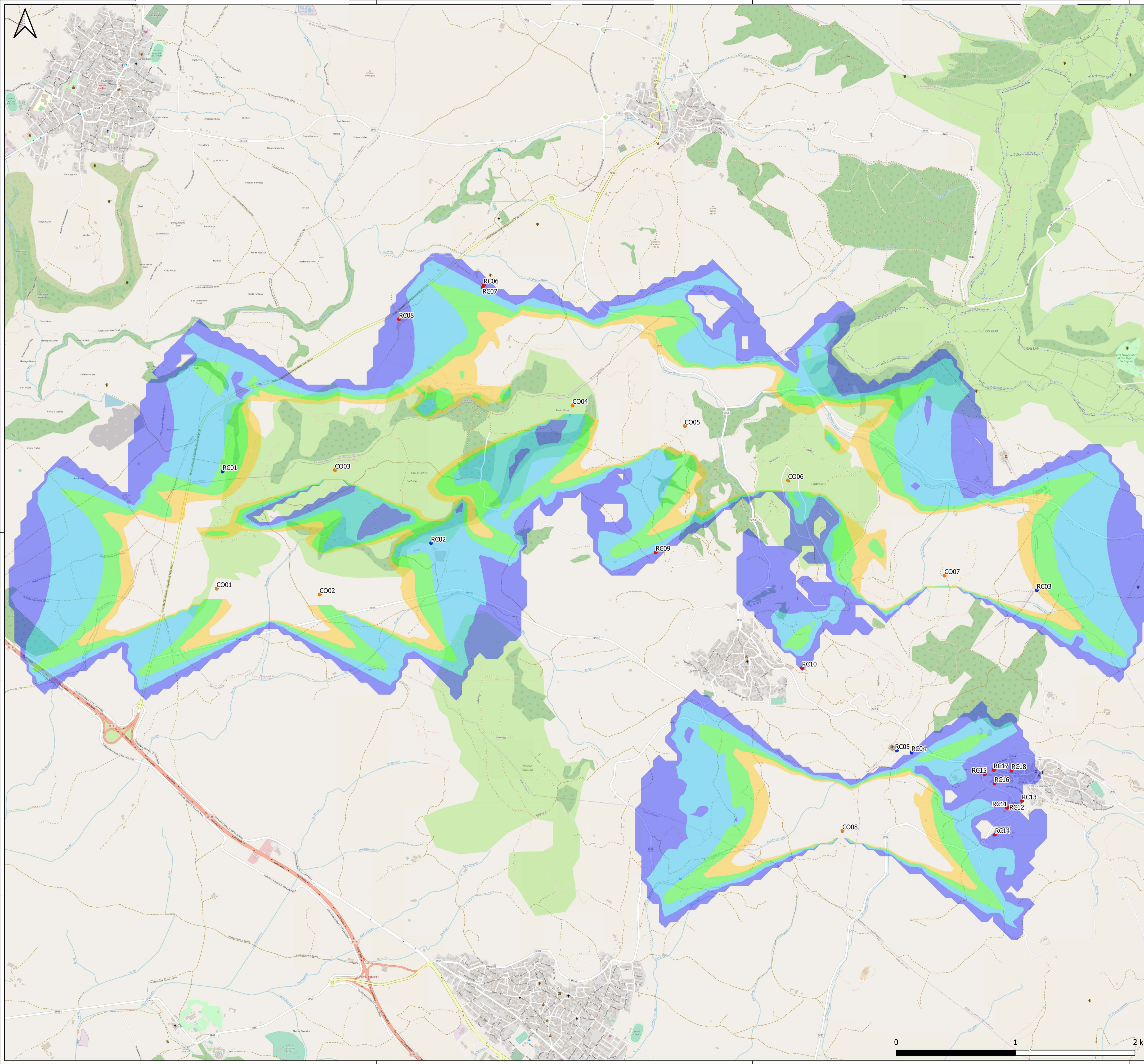
Il dettaglio dei fabbricati considerati nella presente analisi è riportato nella tavola grafica (worst case) allegata alla presente relazione.

Inoltre, viene allegato il calendario worst case di shadow flickering del ricettore RC03

8.1 Calendari di shadow flickering

8.1.1 Ricettore RC03





Legenda:

- Aerogeneratori di progetto
 - Ricettori sensibili - entro i 1000 m
 - Ricettori sensibili - tra 1000 e 1700 m
- | Shadow Flickering | |
|-------------------|-----------|
| | 0-15 ore |
| | 15-30 ore |
| | 30-45 ore |
| | 45-60 ore |
| | >60 ore |

IMPIANTO EOLICO COLLINAS

Oggetto

COL-56 - Tavola sugli effetti shadow-flickering

Proponente:



Sorgenia Renewables S.r.l.
Via Algardi n.4
20149
MILANO (MI)

Progettista:



Stantec S.p.A.
Centro Direzionale Milano 2
Palazzo Canova - 20090
Segrate
(Milano)
Tel: +39 02 94757420
www.stantec.com

01	INTEGRATI COMMENTI	M. Carnevale	M. Iaquinia	P. Palmelli	08/05/2023
00	PRIMA EMISSIONE	M. Carnevale	M. Iaquinia	P. Palmelli	17/04/2023
Revisione	Descrizione	Redatto	Controllato	Approvato	Data
Fase del Progetto: Definitiva		Formato: A1		Scala: 1:15000	

